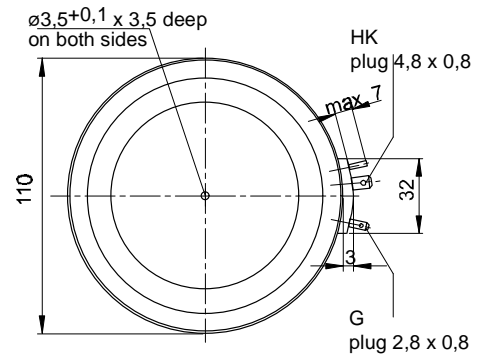
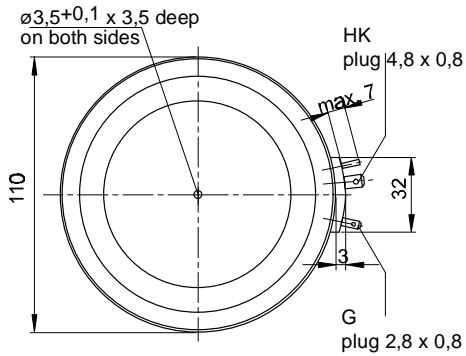
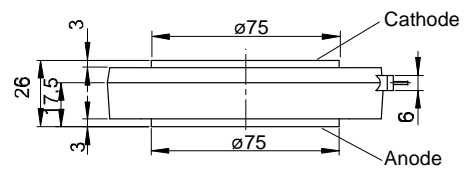
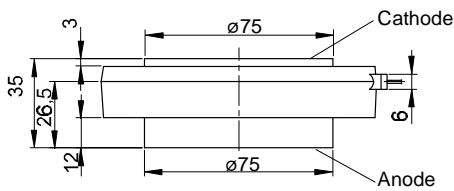


European Power-Semiconductor and Electronics Company

# Marketing Information

## T 2156 N / T 2159 N



## T 2159 N

### Elektrische Eigenschaften

#### Höchstzulässige Werte

Periodische Vorwärts- und Rückwärts-Spitzenspannung

Vorwärts-Stoßspitzenspannung

Rückwärts-Stoßspitzenspannung

Durchlaßstrom-Grenzeffektivwert

Dauergrenzstrom

Stoßstrom-Grenzwert

Grenzlastintegral

Kritische Stromsteilheit

Kritische Spannungssteilheit

#### Charakteristische Werte

Durchlaßspannung

Schleusenspannung

Ersatzwiderstand

Zündstrom

Zündspannung

Nicht zündender Steuerstrom

Nicht zündende Steuerspannung

Haltestrom

Einraststrom

Vorwärts- und Rückwärts-Sperrstrom

Zündverzögerung

Freiwerdzeit

### Thermische Eigenschaften

Innerer Wärmewiderstand

Übergangs-Wärmewiderstand

Höchstzul. Sperrschichttemperatur

Betriebstemperatur

Lagertemperatur

### Mechanische Eigenschaften

Si-Element mit Druckkontakt, Amplifying-Gate

Anpreßkraft

Gewicht

Kriechstrecke

Feuchtklasse

Schwingfestigkeit

Gehäuse

### Electrical properties

#### Maximum rated values

repetitive peak forward off-state and reverse voltages

non-repetitive peak forward off-state voltage

non-repetitive peak reverse voltage

RMS on-state current

average on-state current

surge current

I<sup>2</sup>t-value

critical rate of rise of on-state current

critical rate of rise of off-state voltage

#### Characteristic values

on-state voltage

threshold voltage

slope resistance

gate trigger current

gate trigger voltage

gate non-trigger current

gate non-trigger voltage

holding current

latching current

forward off-state and reverse currents

gate controlled delay time

circuit commutated turn-off time

### Thermal properties

thermal resistance, junction to case

thermal resistance, case to heatsink

max. junction temperature

operating temperature

storage temperature

### Mechanical properties

Si-pellet with pressure contact, amplifying gate

clamping force

weight

creepage distance

humidity classification

vibration resistance

case

$t_{vj} = -40^{\circ}\text{C} \dots t_{vj\text{max}}$

$t_{vj} = -40^{\circ}\text{C} \dots t_{vj\text{max}}$

$t_{vj} = +25^{\circ}\text{C} \dots t_{vj\text{max}}$

$t_c = 85^{\circ}\text{C}$

$t_c = 64^{\circ}\text{C}$

$t_{vj} = 25^{\circ}\text{C}, t_p = 10\text{ ms}$

$t_{vj} = t_{vj\text{max}}, t_p = 10\text{ ms}$

$t_{vj} = 25^{\circ}\text{C}, t_p = 10\text{ ms}$

$t_{vj} = t_{vj\text{max}}, t_p = 10\text{ ms}$

DIN IEC 747-6,  $f = 50\text{ Hz}$ ,

$v_L = 10\text{ V}, i_{GM} = 1,6\text{ A}, di_G/dt = 1,6\text{ A}/\mu\text{s}$

$t_{vj} = t_{vj\text{max}}, v_D = 0,67 V_{DRM}$

5.Kennbuchstabe/5th letter C

5.Kennbuchstabe/5th letter F

$t_{vj} = t_{vj\text{max}}, i_T = 8800\text{ A}$

$t_{vj} = t_{vj\text{max}}$

$t_{vj} = t_{vj\text{max}}$

$t_{vj} = 25^{\circ}\text{C}, v_D = 6\text{ V}$

$t_{vj} = 25^{\circ}\text{C}, v_D = 6\text{ V}$

$t_{vj} = t_{vj\text{max}}, v_D = 6\text{ V}$

$t_{vj} = t_{vj\text{max}}, v_D = 0,5 V_{DRM}$

$t_{vj} = t_{vj\text{max}}, v_D = 0,5 V_{DRM}$

$t_{vj} = 25^{\circ}\text{C}, v_D = 6\text{ V}, R_A = 5\ \Omega$

$t_{vj} = 25^{\circ}\text{C}, v_D = 6\text{ V}, R_{GK} \geq 10\ \Omega$

$i_{GM} = 1,6\text{ A}, di_G/dt = 1,6\text{ A}/\mu\text{s}, t_g = 20\ \mu\text{s}$

$t_{vj} = t_{vj\text{max}}, v_D = V_{DRM}, v_R = V_{RRM}$

DIN IEC 747-6,  $t_{vj} = 25^{\circ}\text{C}, i_{GM} = 1,6\text{ A}$ ,

$di_G/dt = 1,6\text{ A}/\mu\text{s}$

$t_{vj} = t_{vj\text{max}}, i_{TM} = I_{TAVM}, v_{RM} = 100\text{ V}$ ,

$v_{DM} = 0,67 V_{DRM}, dv_D/dt = 20\text{ V}/\mu\text{s}$ ,

$di_T/dt = 10\text{ A}/\mu\text{s}$ , 4.Kennbuchstabe/4th letter C

$V_{DRM}, V_{RRM}$

$V_{DSM}$

$V_{RSM}$

$I_{TRMSM}$

$I_{TAVM}$

$I_{TSM}$

$I^2 t$

$(di_T/dt)_{cr}$

$(dv_D/dt)_{cr}$

$v_T$

$V_{T(TO)}$

$r_T$

$I_{GT}$

$V_{GT}$

$I_{GD}$

$V_{GD}$

$I_H$

$I_L$

$i_D, i_R$

$t_{gd}$

$t_q$

$R_{thJC}$

$R_{thCK}$

$t_{vj\text{max}}$

$t_{c\text{op}}$

$t_{stg}$

F

G

C

f = 50 Hz

2000 2200 2400 V<sup>1)</sup>

2600 2800

2000 2200 2400 V

2600 2800

2100 2300 2500 V

2700 2900

4600 A

2159 A

2930 A

44000 A<sup>1)</sup>

40000 A

$9,68 \cdot 10^6\text{ A}^2\text{s}$

$8 \cdot 10^6\text{ A}^2\text{s}$

150 A/ $\mu\text{s}$

500 V/ $\mu\text{s}$

1000 V/ $\mu\text{s}$

max. 2,65 V

1,05 V

0,154 m $\Omega$

max. 300 mA

max. 300 V

max. 10 mA

max. 5 mA

max. 0,25 V

max. 300 mA

max. 1500 mA

max. 250 mA

max. 300  $\mu\text{s}$

typ. 250  $\mu\text{s}$

0,0099  $^{\circ}\text{C}/\text{W}$

0,0092  $^{\circ}\text{C}/\text{W}$

0,0025  $^{\circ}\text{C}/\text{W}$

0,005  $^{\circ}\text{C}/\text{W}$

125  $^{\circ}\text{C}$

-40...+125  $^{\circ}\text{C}$

-40...+150  $^{\circ}\text{C}$

42...95 kN

typ. 1200 g

25 mm

C

50 m/s<sup>2</sup>

Titelseite / front page

<sup>1)</sup> Gehäusegrenzstrom 36 kA (50Hz Sinushalbwellen) / Current limit of case 36 kA (50Hz sinusoidal half-wave).

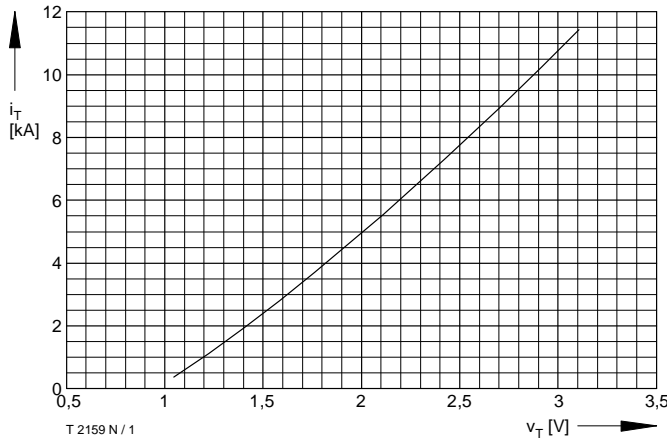


Bild / Fig. 1  
Grenzdurchlaßkennlinie / Limiting on-state characteristic  $i_T = f(v_T)$   
 $t_{vj} = t_{vj \max}$

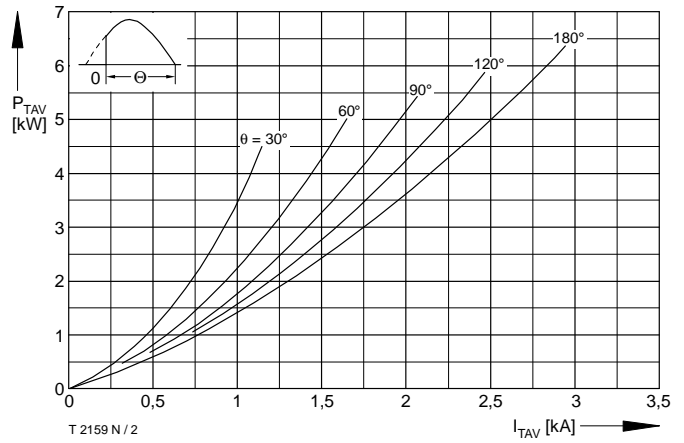


Bild / Fig. 2  
Durchlaßverlustleistung / On-state power loss  $P_{TAV} = f(I_{TAV})$   
Parameter: Stromflußwinkel / Current conduction angle  $\theta$

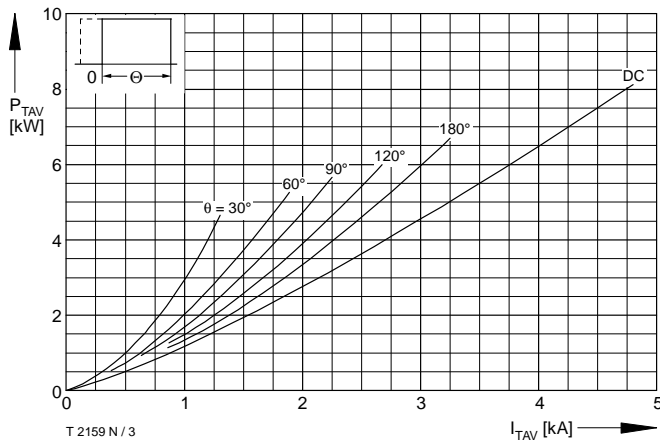


Bild / Fig. 3  
Durchlaßverlustleistung / On-state power loss  $P_{TAV} = f(I_{TAV})$   
Parameter: Stromflußwinkel / Current conduction angle  $\theta$

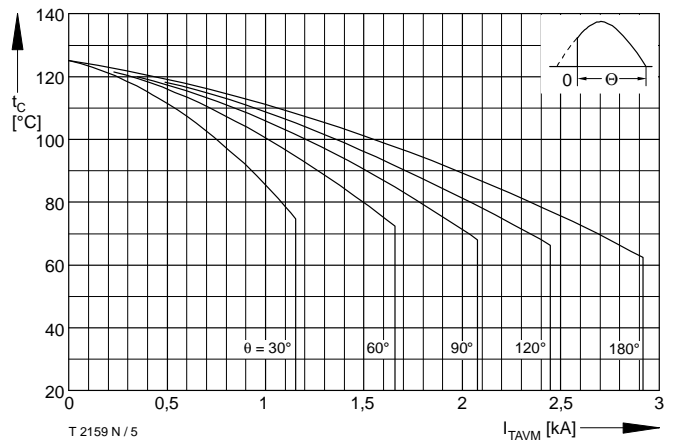


Bild / Fig. 5  
Höchstzulässige Gehäusetemperatur / Maximum allowable case temperature  $t_c = f(I_{TAVM})$   
Beidseitige Kühlung / Two sided cooling  
Parameter: Stromflußwinkel / current conduction angle  $\theta$   
Berechnungsgrundlage  $P_{TAV}$  (Schaltverluste gesondert berücksichtigen) / Calculation base  $P_{TAV}$  (switching losses should be considered separately)

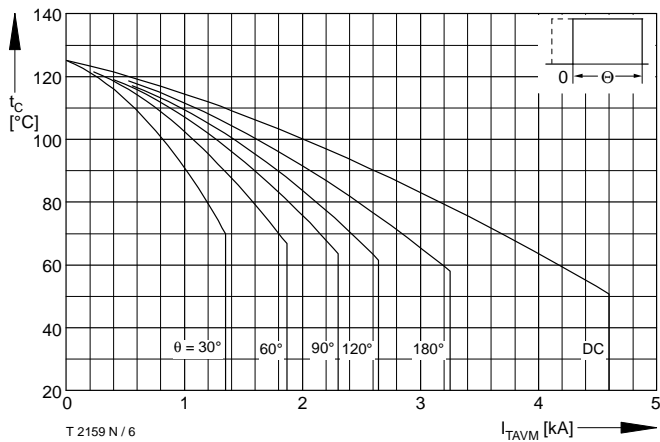


Bild / Fig. 6  
Höchstzulässige Gehäusetemperatur / Maximum allowable case temperature  $t_c = f(I_{TAVM})$   
Beidseitige Kühlung / Two sided cooling  
Parameter: Stromflußwinkel / current conduction angle  $\theta$   
Berechnungsgrundlage  $P_{TAV}$  (Schaltverluste gesondert berücksichtigen) / Calculation base  $P_{TAV}$  (switching losses should be considered separately)

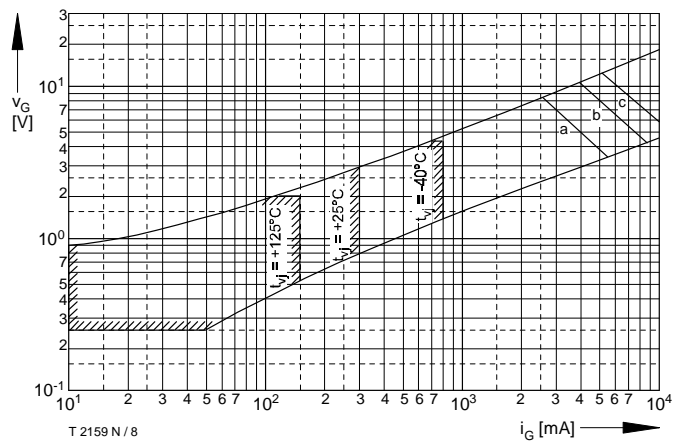


Bild / Fig. 8  
Steuercharakteristik mit Zündbereichen / Gate characteristic with triggering areas  $v_G = f(i_G)$ ,  $V_D = 6 \text{ V}$   
Parameter:  
Steuerimpulsdauer / Puls duration  $t_g$  [ms] a b c  
Höchstzulässige Spitzensteuerleistung / Maximum allowable peak gate power [W] 20 40 60

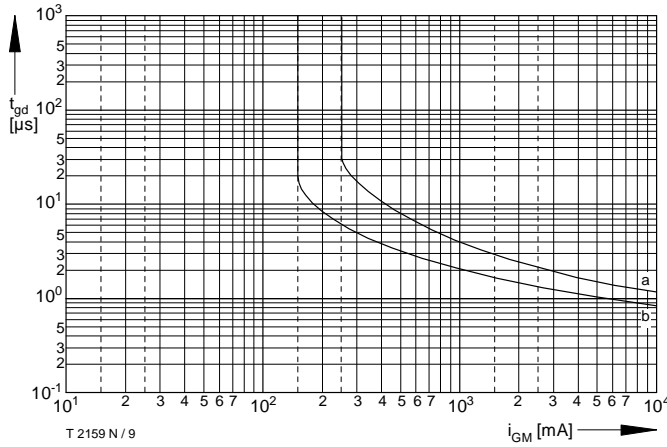


Bild / Fig. 9  
 Zündverzögerung / Gate controlled delay time  $t_{gd} = f(i_{GM})$ ,  $t_{vj} = 25^\circ\text{C}$ ,  
 $di_G/dt = i_{GM}/1\mu\text{s}$   
 a - Maximaler Verlauf / Limiting characteristic  
 b - Typischer Verlauf / Typical characteristic

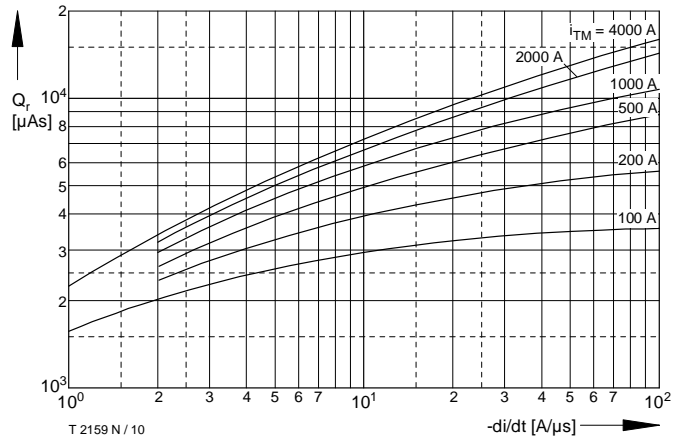


Bild / Fig. 10  
 Sperrverzögerungsladung / Recovered charge  $Q_r = f(di/dt)$   
 $t_{vj} = t_{vj\text{ max}}$ ,  $V_R \leq 0,5 V_{RRM}$ ,  $V_{RM} = 0,8 V_{RRM}$   
 Parameter: Durchlaßstrom / On-state current  $I_{TM}$

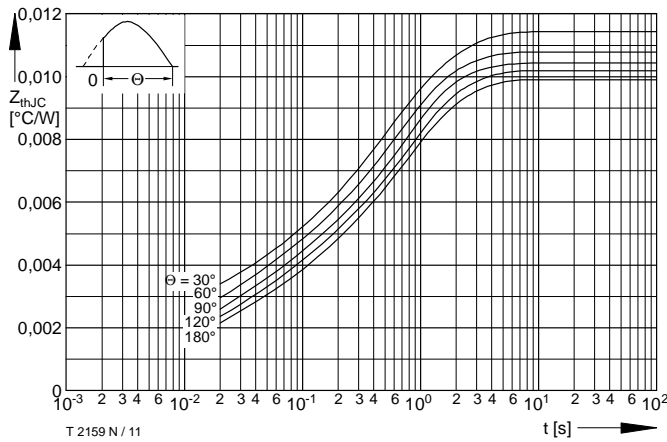


Bild / Fig. 11  
 Transienter innerer Wärmewiderstand / Transient thermal impedance  
 $Z_{thJC} = f(t)$   
 Beidseitige Kühlung / Two-sided cooling  
 Parameter: Stromflußwinkel / Current conduction angle  $\theta$

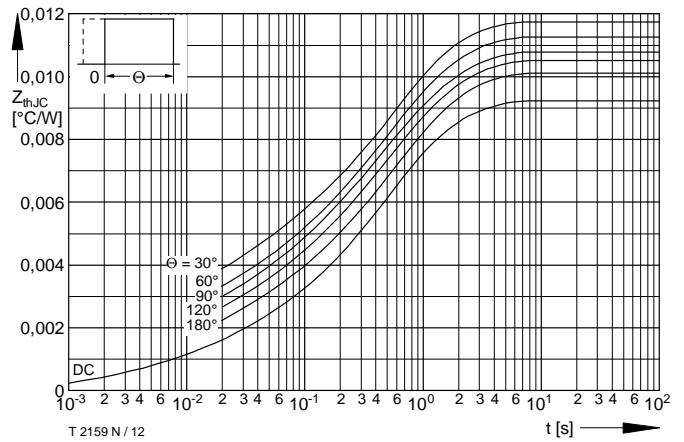


Bild / Fig. 12  
 Transienter innerer Wärmewiderstand / Transient thermal impedance  
 $Z_{thJC} = f(t)$   
 Beidseitige Kühlung / Two-sided cooling  
 Parameter: Stromflußwinkel / Current conduction angle  $\theta$

Analytische Elemente des transienten Wärmewiderstandes  $Z_{thJC}$  pro Zweig für DC  
 Analytical elements of transient thermal impedance  $Z_{thJC}$  per arm for DC

Beidseitige Kühlung / Two-sided cooling

Pos. n	1	2	3	4	5	6
$R_{thn} [^\circ\text{C}/\text{W}]$	0,00003	0,00039	0,00123	0,00317	0,00438	
$\tau_n [\text{s}]$	0,000055	0,00392	0,0152	0,2068	1,0914	

Analytische Funktion / Analytical function:

$$Z_{thJC} = \sum_{n=1}^{n_{\text{max}}} R_{thn} (1 - e^{-\frac{t}{\tau_n}})$$